УДК 538.113+541.49

ФИЗИЧЕСКАЯ ХИМИЯ

Ю. Э. КИРШ, В. Я. КОВНЕР, А. И. КОКОРИН, К. И. ЗАМАРАЕВ, член-корреспондент АН СССР В. А. КАБАНОВ

## ОСОБЕННОСТИ КОМПЛЕКСООБРАЗОВАНИЯ В ВОДНОМ РАСТВОРЕ ПРОИЗВОДНЫХ ПОЛИ-4-ВИНИЛПИРИДИНА И ИОНОВ Cu(II)

Выяснение особенностей комплексообразования понов металлов с полимерами представляет большой интерес как для создания полимерных катализаторов окислительно-восстановительного типа, так и для практических целей (улавливание и сепарация понов металлов, понного обмена и др.). В данной работе проведено сравнительное исследование различными физико-химическими методами реакции комплексообразования в водном растворе Cu(II) с полимерными лигандами, полученными путем реакции поли-4-винилпиридина (ПВП) с простейшим представителем гомологического ряда галоидалкилов — метилбромидом (для придания полимеру растворимости в воде) и с низкомолекулярным аналогом 4-этилпиридином (4-ЭП).

Способ получения ПВП, фракционирования и определения молекулярного веса описаны в (1). Частично алкилированный ПВП (фракция с молекулярным весом 80000) получали обработкой его метилбромидом при 0° в смеси этанола и нитрометана (1:1). Изученные образцы полимеров (ПВПМ) содержали 35% кватернизованных звеньев (степень кватернизации в). Состав и строение полимеров определяли с помощью у.-ф. спектроскопии и п.м.р. Спин-меченый ПВП получали реакцией его с бромэтил-2,2,6,6-тетраметилпиперидин-N-оксилом, как описано в (2). Степень кватер-

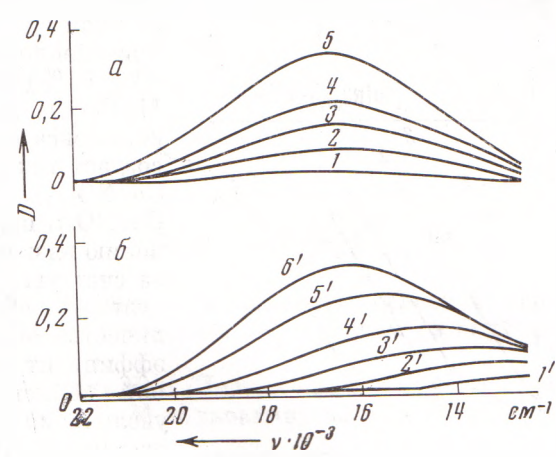
низации ПВП (т. е. содержание метки) составляла 10%.

На рис. 1 сопоставлены спектры поглощения водных растворов  $Cu(NO_3)_2$ и комплексов Cu(II) с  $\Theta$ II в области частот  $\nu$  от  $22\,000-12\,600$  см $^{-1}$  ( $\Theta$ II в этой области не поглощает). По мере увеличения концентрации ЭП максимум поглощения Cu(II) смещается в коротковолновую область из-за образования комплексов различного состава. Известно, что Cu(II) в водном растворе с пиридином может образовывать четыре типа комплексов:  $[CuL]^{2+}$ ,  $[CuL_2]^{2+}$ ,  $[CuL_3]^{2+}$  и  $[CuL_4]^{2+}$ . Сдвиг максимума поглощения от 12600 до 16400 см<sup>-1</sup> и увеличение коэффициента поглощения (є) с добавлением ЭП подтверждает ступенчатое образование указанных комплексов. При более чем 50-кратном избытке ЭП по сравнению с концентрацией Cu(II), дальнейшее добавление лиганда уже не приводит к сдвигу максимума поглощения (у 16400 см-1). Следовательно, в этих условиях равновесие практически полностью смещено в сторону высшего комплекса (тетрапиридинат меди). Коэффициент экстинкции (є) этого комплекса равен  $80\pm 5$  л/мол·см при v 16400 см $^{-1}$ . На рис. 1a представлены также спектры поглощения водных растворов ПВПМ и Cu(II) при различных концентрациях полимера в системе. Видно, что добавление полимера приводит к увеличению оптической плотности D в интересующей нас области частот. Последнее, как и в случае ЭП, обусловлено образованием комплексов Cu(II) с некватернизованными пиридиновыми кольцами. Примечательно, однако, что в последнем случае значительное возрастание оптической плотности происходит именно в максимуме поглощения, соответствующем образованию комплекса [CuL<sub>4</sub>]<sup>2+</sup>; є комплекса Cu(II) с полимерным лигандом при  $v 16400 \text{ см}^{-1}$  совпадает с є для  $[Cu(\partial\Pi)_4]^{2+}$ .

Не исключено, конечно, что в макромолекуле могут возникать и комилексы Cu(II) с меньшим числом лигандов CuL<sub>2</sub>, CuL<sub>3</sub>. Однако поскольку тобавлении полимера не происходит, как в случае ЭП, заметного наразамет оптической плотности в области частот 13000—14000 см<sup>-1</sup>, можно что содержание таких комплексов незначительно по сравнению сминексами СиL<sub>4</sub>. Вывод о преимущественном связывании ионов меди с четырымя лигандами (пиридиновые кольца) макромолекулы соглазамет с результатами сравнительного изучения спектров э.п.р. комплексов Сели производными ПВП и с ЭП в спирто-водной среде при 77° К (3).

Приведенные данные свидетельствуют о специфике связывания в комтекс ионов в макромолекуле по сравнению с низкомолекулярным аналотом. В то же время эта специфика затрудняет выяснение последовательных сталий взаимодействия ионов Cu(II) с пиридиновыми кольцами в макромолекуле и, соответственно, расчет констант устойчивости. Поэтому для

Рис. 1. Спектры растворов комплексов меди в видимой области при различной молярной концентрации пиридиновых колец в полимерном лиганде ПВМП (a) и 4-этилпиридина (6), превышающей [Си-( $NO_3$ ) $_2$ ] =  $10^{-3}$  мол/л, в 1 (I), 4,5 (2) 7 (3), 10 (4), 20 (5) и в 1 (2'); 2 (3'); 7 (4'); 23 (5'), 60 (6') раз



первого этапа в определении констант устойчивости комплексов Cu(II) с полимерными лигандами необходимо найти максимальное число лигандов в макромолекуле, способных участвовать в образовании комплекса CuL<sub>4</sub>. Естественно ожидать, что из-за стерических затруднений этой способностью будут обладать далеко не все свободные пиридиновые звенья.

С этой целью было проведено спектрофотометрическое титрование полимера ПВПМ ( $\beta=35\%$ ) Сu (NO<sub>3</sub>)<sub>2</sub>. Последовательное добавление раствора Сu (NO<sub>3</sub>)<sub>2</sub> к водному раствору ПВПМ приводит к возрастанию оптической плотности при  $\nu$  16400 см<sup>-1</sup>. После достижения определенной концентрации Cu (NO<sub>3</sub>)<sub>2</sub>, зависящей от концентрации полимера, рост оптической плотности прекращается. Из предельного значения  $D_{\text{max}}$  можно определить максимальное число пиридиновых колец, способных образовывать комплексы типа CuL<sub>4</sub>. Число таких пиридиновых групп по отношению к общему числу свободных пиридиновых групп составляет  $30\pm4\%$ .

Известно, что ширина ( $\Delta H$ ) и форма линии в спектре э.п.р. иминоксильного радикала (2,2,6,6-тетраметил-4-оксипиперидин-N-оксил) ИМР может изменяться в присутствии ионов Cu(II) из-за спин-обменного взаимодействия. Из рис. 2 видно, что добавление Cu(NO<sub>3</sub>)<sub>2</sub> или этилендиаминного комплекса Cu(II) к водному раствору метки вызывает уширение линий спектра ИМР. Последнее говорит о значительной величине константы спин-обменного взаимодействия  $K_e$  Cu(H<sub>2</sub>O)<sub>6</sub> или Cu(en)<sub>2</sub> с ИМР ( $K_e$  =  $2,6-2,8\cdot10^{9}$  л/мол·сек) (4, 5). Титрование водного раствора метки в присутствии ПВПМ раствором Cu(NO<sub>3</sub>)<sub>2</sub> показало, что уширение линий спектра ИМР, ковалентно не связанного с полимером, не происходит до определенной концентрации Cu(II), зависящей от концентрации полимера. Отсутствие подобной зависимости  $\Delta H$  от [Cu(II)] в присутствии полимера позволяет сделать важный вывод, что ионы Cu(II), входящие в комплекс с макромолекулой, становятся недоступными для столкновения с радика-

лом, т. е. экранированы остовом макромолекулы от раствора, содержащего

этот радикал. Кроме того, из сравнения концентраций пиридиновых колец полимера и Cu(II) в точке перегиба можно оценить предельное число пиридиновых групп, образующих комплексы  $CuL_4$ . Расчет дает  $33\pm4\%$  таких пиридиновых групп ( $\gamma$ ) от общего количества всех свободных групп. Совпадение  $\gamma$ , вычисленной различными методами, служит еще одним аргументом в пользу образования 4-координационного комплекса Cu(II) в полимерном клубке.

Для исследования конформационного состояния макромолекул полимерного лиганда в водном растворе при различной концентрации Cu(II) были

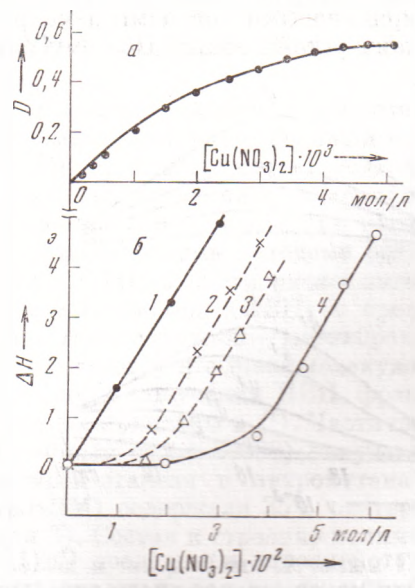


Рис. 2. Зависимость оптической плотности D комплекса меди с полимером ([Пир] =  $2 \cdot 10^{-2}$  мол/л) при v = 164000 см<sup>-1</sup> (a) и ширины линип спектра э.п.р. иминоксильного радикала в отсутствие (I) и в присутствии полимера: [Пир] =  $14 \cdot 10^{-2}$  (2),  $21 \cdot 10^{-2}$  (3),  $36 \cdot 10^{-2}$  мол/л (4) от концентрации  $Cu(NO_3)_2$ 

использованы вискозиметрический метод, метод парамагнитной метки, ковалентно связанной с цепью, и метод скоростной седиментации. Из зависимости приведенной вязкости растворов ПВПМ  $(\beta = 35\%)$  от концентрации  $Cu(NO_3)_2$  и  $Mg(NO_3)_2$  (рис. 3) (вторая соль не дает комплекса с полимерным лигандом, но создает такую же ионную силу, что и Cu (NO<sub>3</sub>)<sub>2</sub>) видно, OTP добавление Cu (NO<sub>1</sub>) 2 приводит к более сильному падению вязкости (в ~10 раз), чем просто за счет увеличения ионной силы в результате добавления эквивалентного количества Mg(NO<sub>3</sub>)<sub>2</sub>. В то же время коэффициент седиментации з при постоянной концентрации полимера по мере увеличения концентрации Cu(II) возрастает от 1,1 до 6 (рис. 3). Значительное падение вязкости, с одной стороны, и увеличение з, с другой стороны, свидетельствует как о сильном уменьшении гидродинамического объема, так и об увеличении массы макромолекулы. Необходимо отметить, что, несмотря на сильно выраженную способность Cu(II) давать четыре координационные связи, т. е. сшивать звенья макромолекулы друг с другом, полимерный комплекс не выпадает в осадок даже при довольно больших концентрациях Cu (NO<sub>3</sub>)<sub>2</sub>. По-

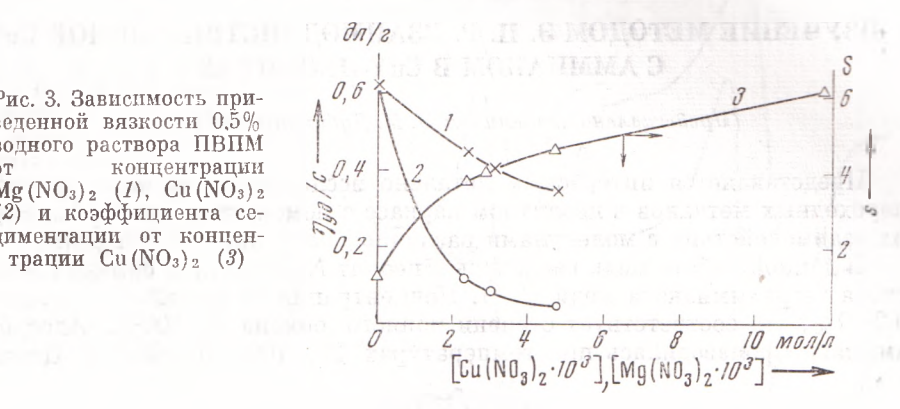
видимому, это обусловлено присутствием положительно заряженных групп в цепи, которые способны связывать ионы Cu (II), и при конформационных перестройках макромолекулы, связанных образованием комплексов СиL<sub>4</sub>, могут «выворачиваться» наружу, создавая заряженный слой на поверхности макромолекул, который препятствует агрегации. Действительно, титруя  $Cu(NO_3)_2$  спин-меченый ПВП ( $\beta = 10\%$ ) в спирто-водной среде и регистрируя спектры э.п.р. при 77° К, удается заметить лишь незначительное увеличение от 0,485 до 0,525 отношения интенсивности крайних компонент спектра э.п.р. радикала к интенсивности центральной компоненты  $(d_1/d_2)$ спектра метки ( $^{5}$ ). Подобное изменение  $d_{1}/d_{2}$  указывает на то, что нон Cu(II) связывается с пиридиновыми кольцами на большом расстоянии от пиридиниевого кольца, несущего спин-метку. При этом расстояние от Cu(II) до N=О группы радикала ≥30 Å, что позволяет приближенно оценить размер макромолекулы ПВПМ, связавшей максимально возможное количество ионов Cu(II). Считая, что полимер занимает некоторый сферический объем, получим, что радиус этой сферы ≥65 Å.

Определение парциального удельного объема ПВПМ ( $\bar{v}=0.73$ ) в комплексе с  $\mathrm{Cu}(\mathrm{II})$ , коэффициента седиментации s и коэффициента диффузии

D при постоянной концентрации полимера, характеристической вязкости комплекса  $(\eta/C \to [\eta])$  при большой концентрации соли позволяет из уравнения Свелберга и из уравнения Флори — Манделькерна (6) приближенно оценить молекулярный вес комплекса. Он равен 200 000 (молекулярный вес исходного ПВПМ ~110 000).

Следовательно, в тех случаях, когда в комплекс вступает большое число пиридиновых групп, образуется плотно свернутый макромолекулярный

Рис. 3. Зависимость приведенной вязкости 0,5% водного раствора ПВПМ от концентрации Mg (NO<sub>3</sub>)<sub>2</sub> (1), Cu (NO<sub>3</sub>)<sub>2</sub> (2) и коэффициента седиментации от концентрации Си (NO<sub>3</sub>)<sub>2</sub> (3)



комплекс, по вязкости приближающийся к вязкости белковой глобулы (0.03-0.04 дл/г) и состоящий из нескольких — в среднем из двух макро-

Авторы выражают благодарность В. Я. Черняку за помощь в постановке эксперимента по седиментации и Г. М. Луковкину за обсуждение результатов работы.

Московский государственный университет им. М. В. Ломоносова

Поступило 2 IV 1973

Институт химической физики Академии наук СССР Москва

## ЦИТИРОВАННАЯ ЛИТЕРАТУРА

<sup>1</sup> Н. А. Венгерова, Ю. Э. Кирш, В. А. Кабанов. Высокомолек. соед., **А13**, 2509 (1971). <sup>2</sup> А. И. Кокорин, Ю. Э. Кирш и др., ДАН, 208, 1391 (1973). <sup>3</sup> А.И. Кокорин, Н. А. Венгерова и др., ДАН, 202, 597 (1972). <sup>4</sup> О. А. Анисимов, А. Г. Никитаев и др., Теоретич. эксп. хим., 7, 682 (1971). <sup>5</sup> А.И. Кокорин, К.И. Замараев и др., Биофизика, 17, 34 (1972). <sup>6</sup> В. Н. Цветков, В. Е. Эскин, С.Я. Френкель, Структура макромолекул в растворе, «Наука», 1964.